



MARTES CLÍNICO

SONIA CHIA GONZALES
MR3 ENDODRINOLOGÍA

ENERO 2015

AGENDA

1

Presentación del Caso Clínico

2

Discusión del Caso

3

Revisión del Tema

4

Conclusiones

MUJER DE 18 AÑOS

Natural: Comunidad

Nativa. Satipo -Junín

Procedencia : Lima

FUNCIONES BIOLÓGICAS

Apetito: Conservado

Sed: Aumentada

Sueño: Conservado

Peso: Conservado

Deposición: c/2 días

Orina: Ausente

Dolor Pélvico
Intermitente

Masa palpable
en
hemiabdomen
inferior

15 AÑOS
No
menstrua

CONSULTORIO

1aai

9mai

3 aai

HOSPITALIZACIÓN

ANTECEDENTES

PATOLOGICOS

- ERCT, Síndrome Nefrótico rápidamente progresivo 2008. Glomerulopatía primaria. Inicio de Diálisis Peritoneal Ambulatoria.
- Hipertensión Arterial 2008
- TBC Ganglionar 2008

HOSPITALIZACIONES

- Peritonitis micótica refractaria a tratamiento por Cándida No Albicans, Retiro del Catéter de diálisis peritoneal 2011
- Catéter de hemodiálisis Junio 2011. Entra a lista de espera para Trasplante Renal.

FAMILIAR

- Aparentemente sanos

GINECOBSTETRICO

- Menarquia ausente

EXAMEN FISICO

FUNCIONES VITALES:

PA:130/85 FC: 90 X' FR: 20x SO₂: 98% FiO₂:21%

Peso: 41.3Kg Talla: 1.49m IMC: 26



Biometría: Envergadura : 152, Segmento inferior: 75, Segmento superior: 72.

PIEL: T-H palidez terrosa, llenado capilar < 2"

TCSC: conservado, no edemas

Cabeza y cuello: no se palpa tiroides.

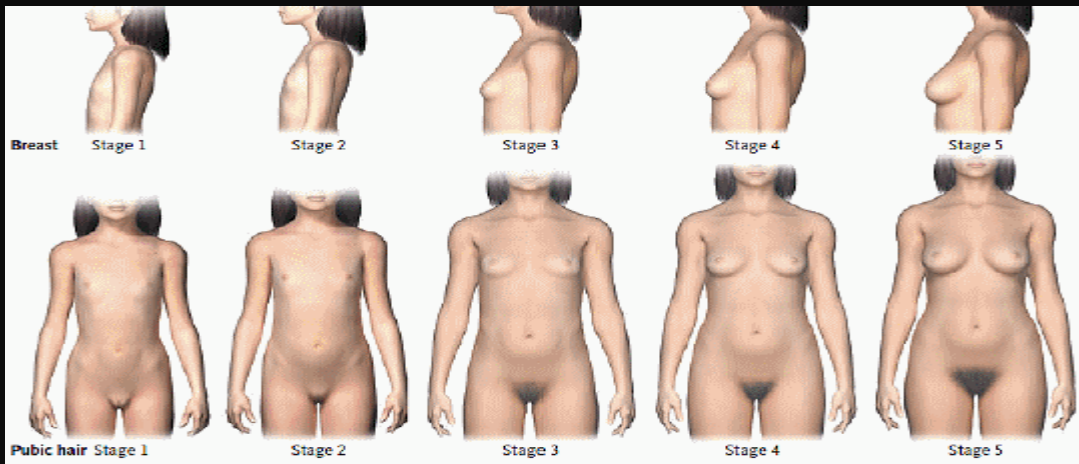
T Y P: MV pasa bien en ACP no ruidos agregados

CV: RC rítmicos, no soplos.

ABD: RHA (+), Masa de consistencia dura, no móvil de 5cm x 4cm, a 2 cm por debajo de región umbilical, doloroso a la palpación.

GU: Ausencia de vello axilar, púbico, ausencia de botón mamario (Tanner 1), genitales fenotípicamente femeninos. Ausencia de hirsutismo.

SNC: Despierta, Glasgow 15, no signos meníngeos, no focalización, ROT conservados.



Desarrollo mamario

- **Estadio 1 (S1)**

Mamas infantiles. Sólo el pezón está ligeramente sobreelevado

- **Estadio 2 (S2)**

Brote mamario. Las areolas y pezones sobresalen como un cono. Esto indica la existencia de tejido glandular subyacente. Aumento del diámetro de la areola

- **Estadio 3 (S3)**

Continuación del crecimiento con elevación de mama y areola en un mismo plano

- **Estadio 4 (S4)**

La areola y el pezón pueden distinguirse como una segunda elevación, por encima del contorno de la mama

- **Estadio 5 (S5)**

Desarrollo mamario total. La areola se encuentra a nivel de la piel, y sólo sobresale el pezón (Nota: en algunos casos, la mujer adulta puede mantenerse en estadio 4)

Desarrollo del vello pubiano

- **Estadio 1 (P1)**

Ligera vellosoidad infantil

- **Estadio 2 (P2)**

Vello escaso, lacio y ligeramente pigmentado, usualmente a lo largo de los labios

- **Estadio 3 (P3)**

Vello rizado, aún escasamente desarrollado, pero oscuro, claramente pigmentado, sobre los labios

- **Estadio 4 (P4)**

Vello pubiano de tipo adulto, pero no con respecto a la distribución (crecimiento del vello hacia los pliegues inguinales, pero no en la cara interna de los muslos)

- **Estadio 5 (P5)**

Desarrollo de la vellosoidad adulta con respecto a tipo y cantidad; el vello se extiende en forma de un patrón horizontal, el llamado femenino, (también en la cara interna de los muslos). En el 10% de los casos, se extiende por fuera del triángulo pubiano (estadio 6)



EXAMENES AUXILIARES

HEMOGRAMA	
HEMOGLOBINA	8.9
HEMATOCRITO	27
VCM	96.8
HCM	31.8
CHCM	32.8

Grupo Sanguíneo: O +
 T. Sangria: 2.00
 T. Coagulación: 6.00

HEMOGRAMA	
LEUCOCITOS	7840
S	6.33
E	0.32
B	0.01
M	0.42
L	0.75
PLAQUETAS	308 000
INR	1.13
TP	13.6
TTP	34.0

BIOQUIMICO	
GLUCOSA	85
UREA	96.9
CREATININA	8.8
SODIO	140
POTASIO	4.0
CLORO	101
PROT. TOT	5.5
ALBUMINA	3.2
CALCIO	9.7
FOSFORO	4.7
MAGNESIO	2.0

AL MOMENTO

Amenorrea

Tanner 1

Dolor Pélvico

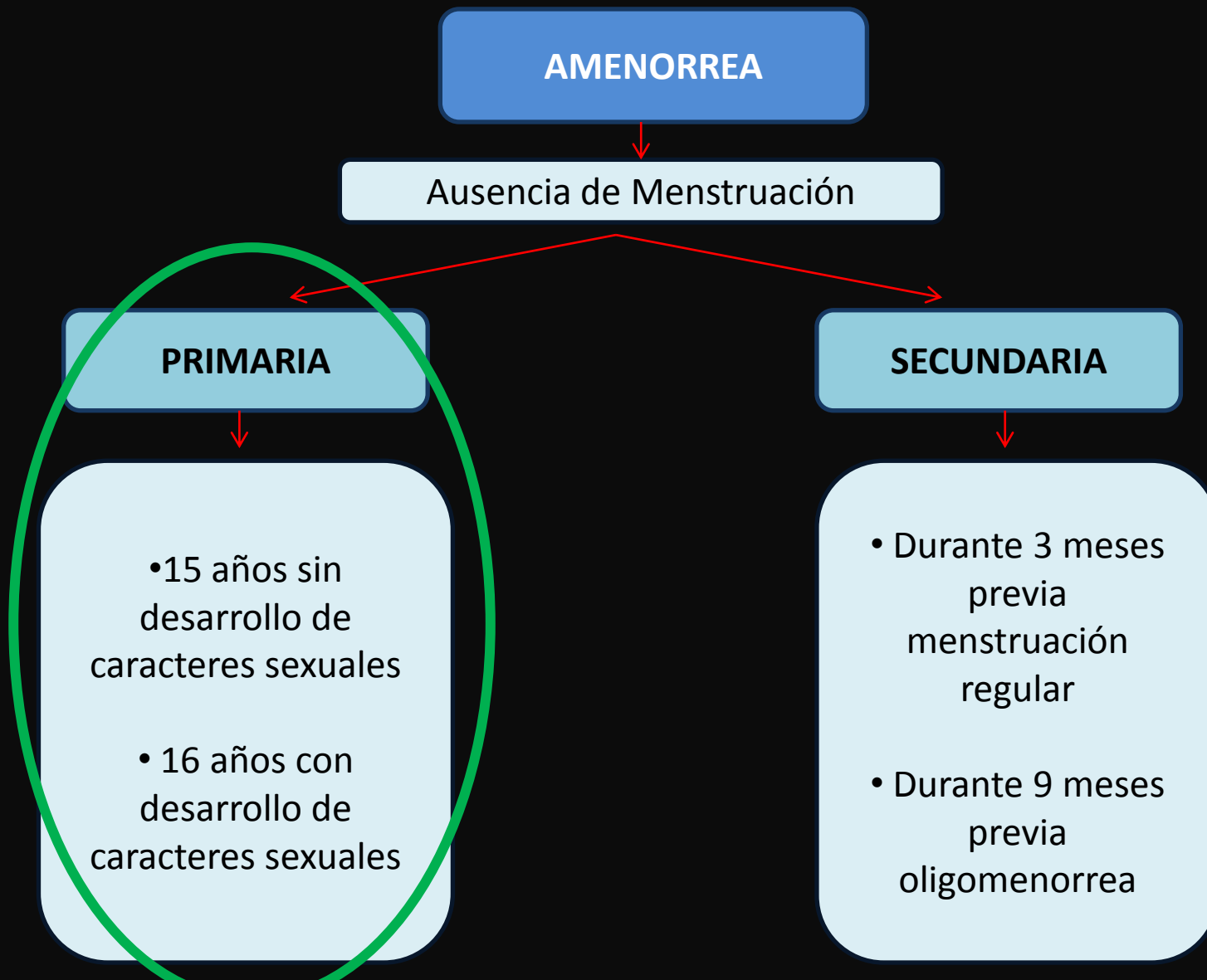
Masa Pélvica

Sd Nefrótico rápidamente progresivo

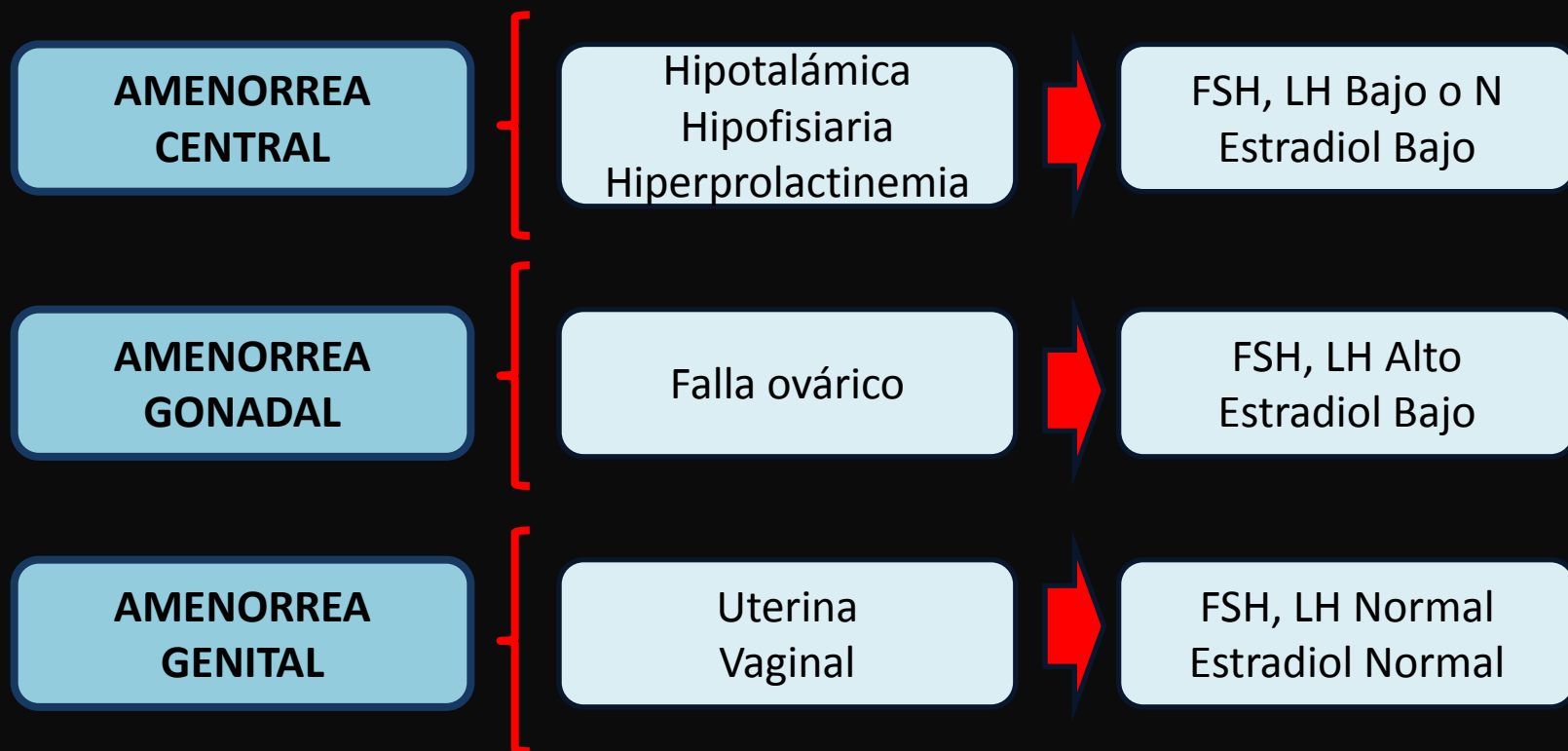
ERCT en Diálisis

AMENORREA

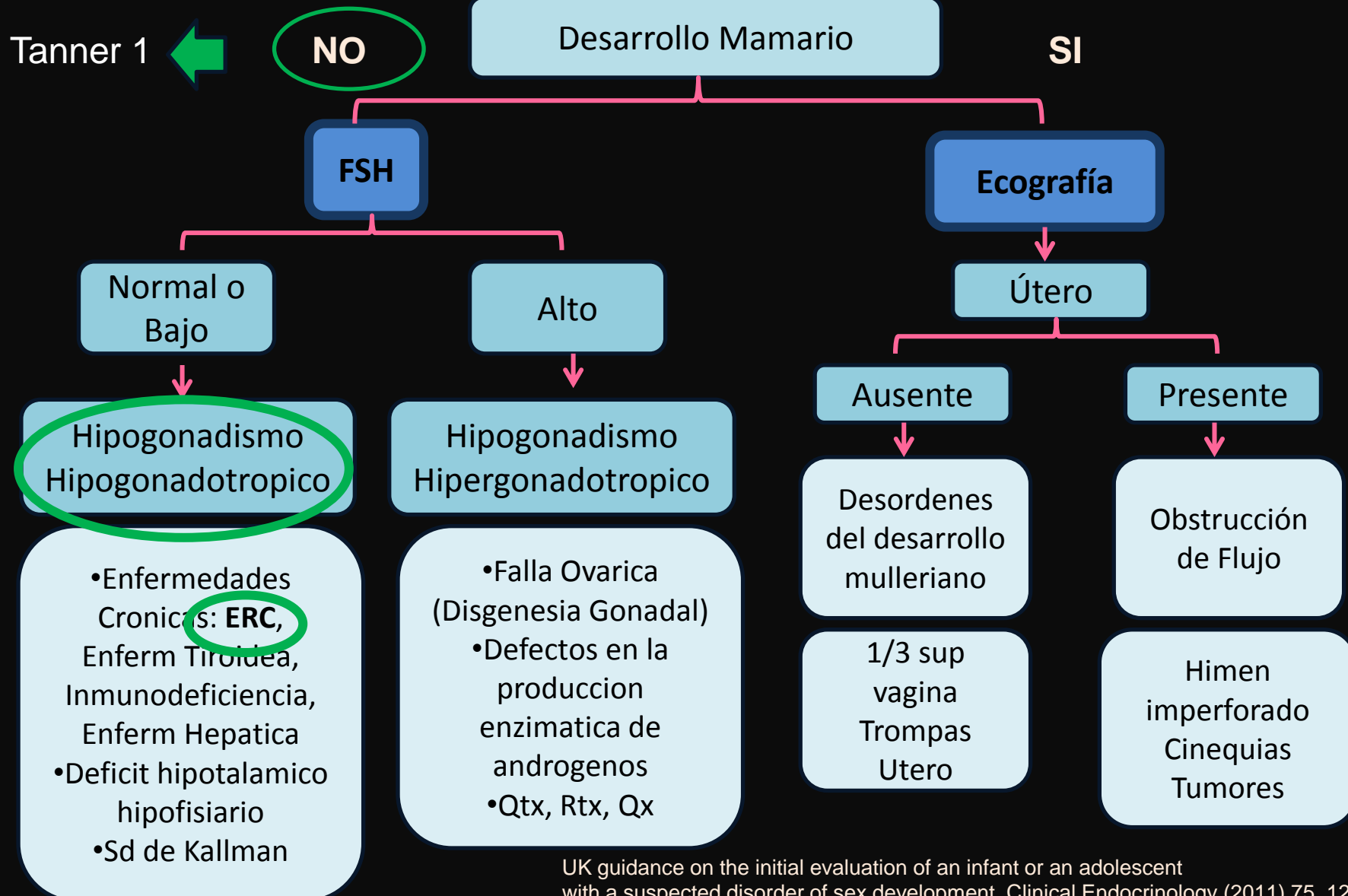
DEFINICION



CLASIFICACIÓN DE AMENORREA



AMENORREA PRIMARIA



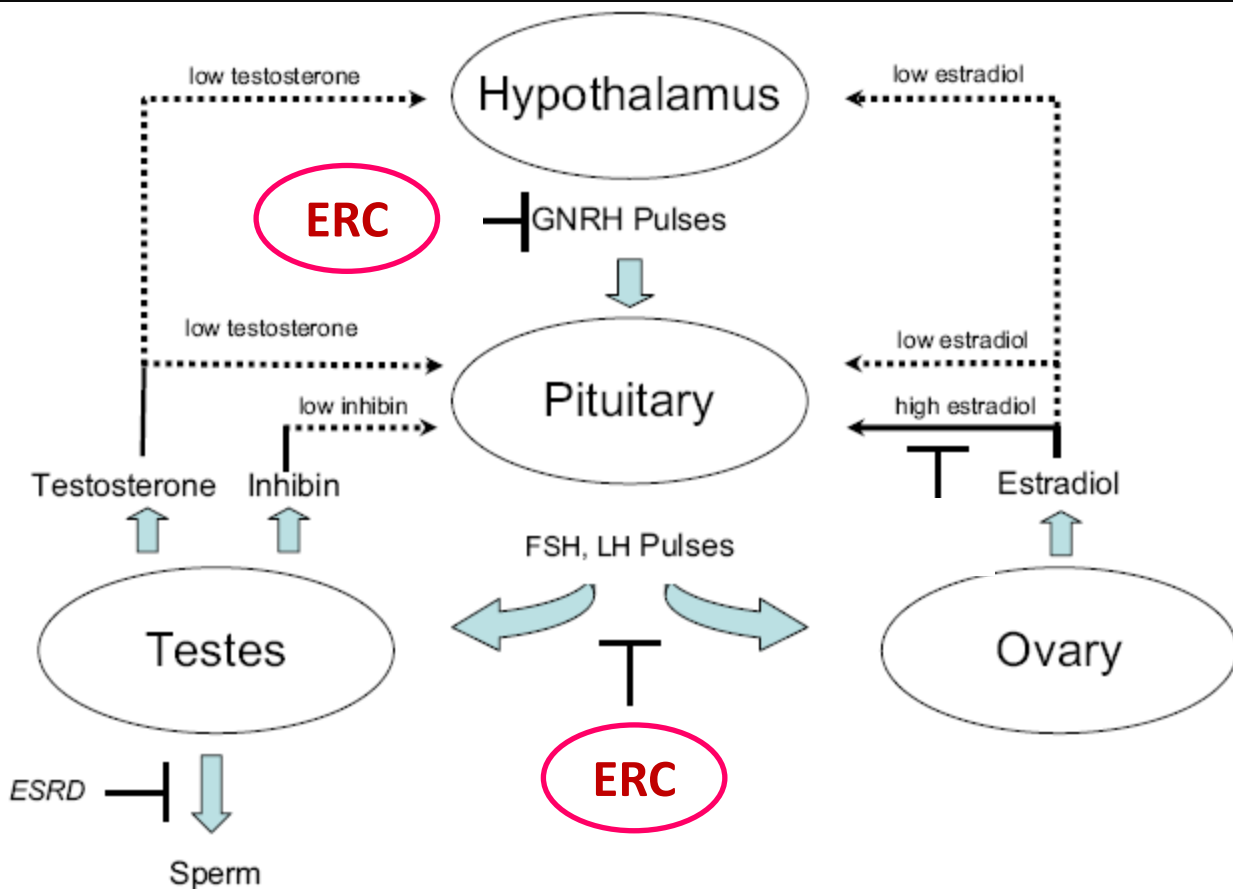


Figure 1. The hypothalamic-pituitary-gonadotropin axis in men and women with ESRD. Reprinted with permission.¹³

Changes in Fertility and Hormone Replacement Therapy in Kidney Disease.
Advances in Chronic Kidney Disease, Vol 20, No 3 (May), 2013: pp 240-245

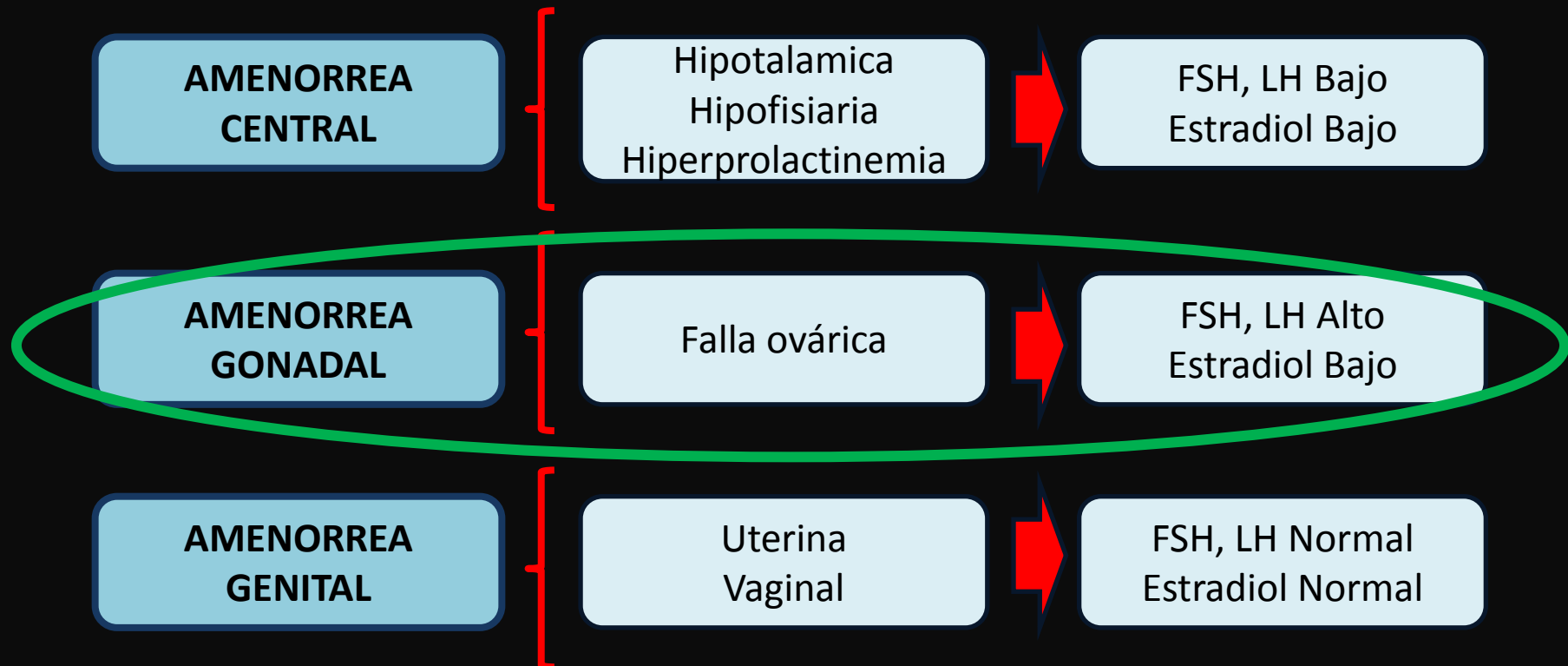
DOSAJE HORMONAL



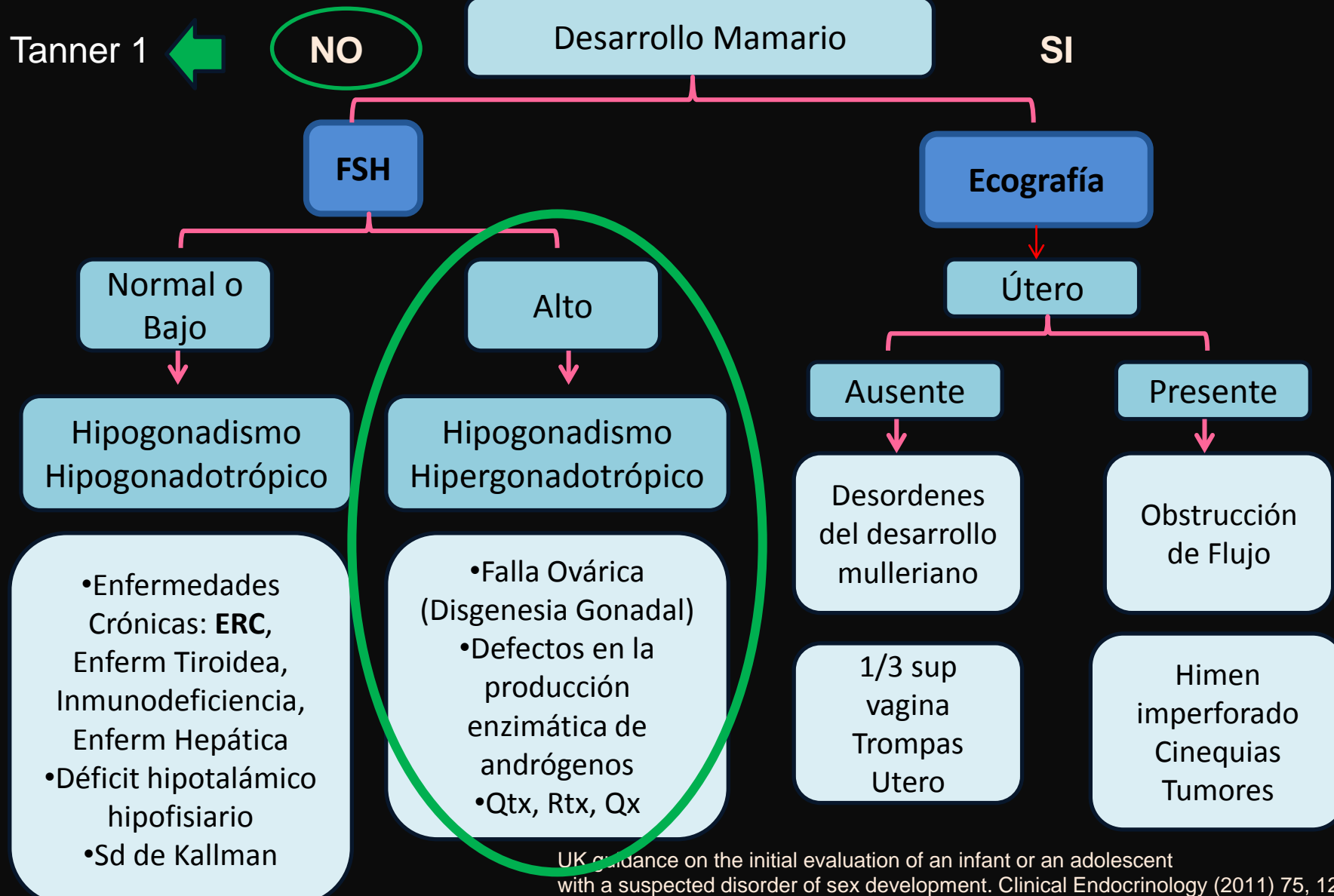
23/08		Valores Normales
FSH	180	4.3 - 11.3
LH	60	2.6 - 7.9
ESTRADIOL	17	66 - 411
PROLACTINA	16	1.9-25
TSH	2.52	0.4-4
T4 Libre	0.85	0.8-1.9

HIPOGONADISMO HIPERGONADOTROPICO

CLASIFICACIÓN DE AMENORREA



AMENORREA PRIMARIA



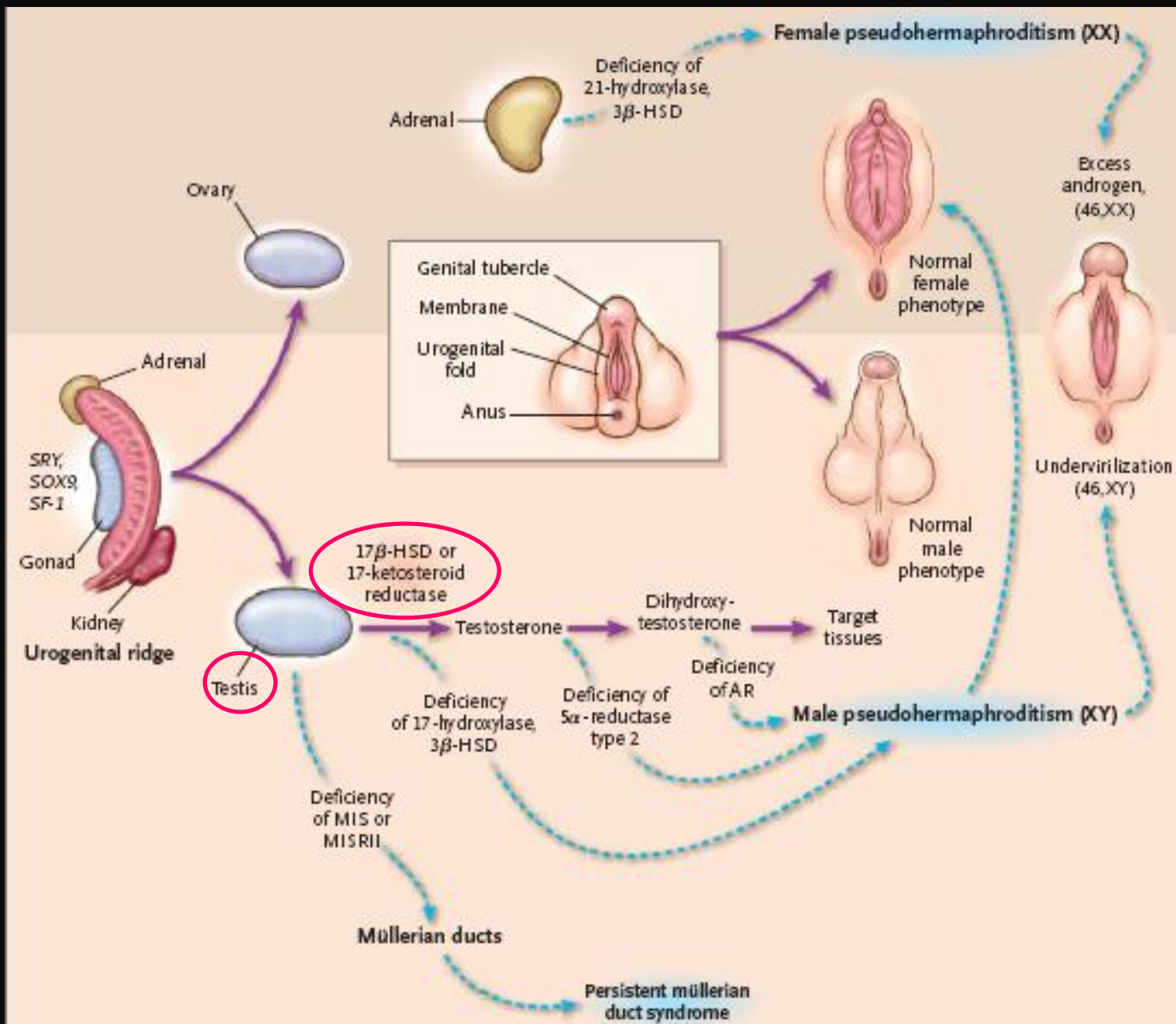
AMENORREA 1° CON AUMENTO DE GONADOTROPINAS

Defectos Congénitos	Disgenesia Gonadal	Sindrome de Turner clásico y mosaico, Disgenesia Gonadal 46XY, 46XX
	Defectos enzimáticos	Deficiencia 17 alfa hidroxilasa (Virilización)
Defectos Adquiridos	Alteraciones Autoinmunes	Hipotiroidismo, Sd poliglandular.
	Causas físicas	Irradiación, Quimioterapia

FENOTIPO DE SINDROME DE TURNER



Micrognatia
Cuello corto
Orejas con implantación baja
Cuello alado
Implantación baja de cabello
Acortamiento de 4to
metacarpiano
Cuvitus valgus
Uñas frágiles



Sex Determination and Differentiation

AL MOMENTO

Amenorrea Primaria

Tanner 1



Masa Pélvica

HIPOGONADISMO

HIPERGONADOTROFICO

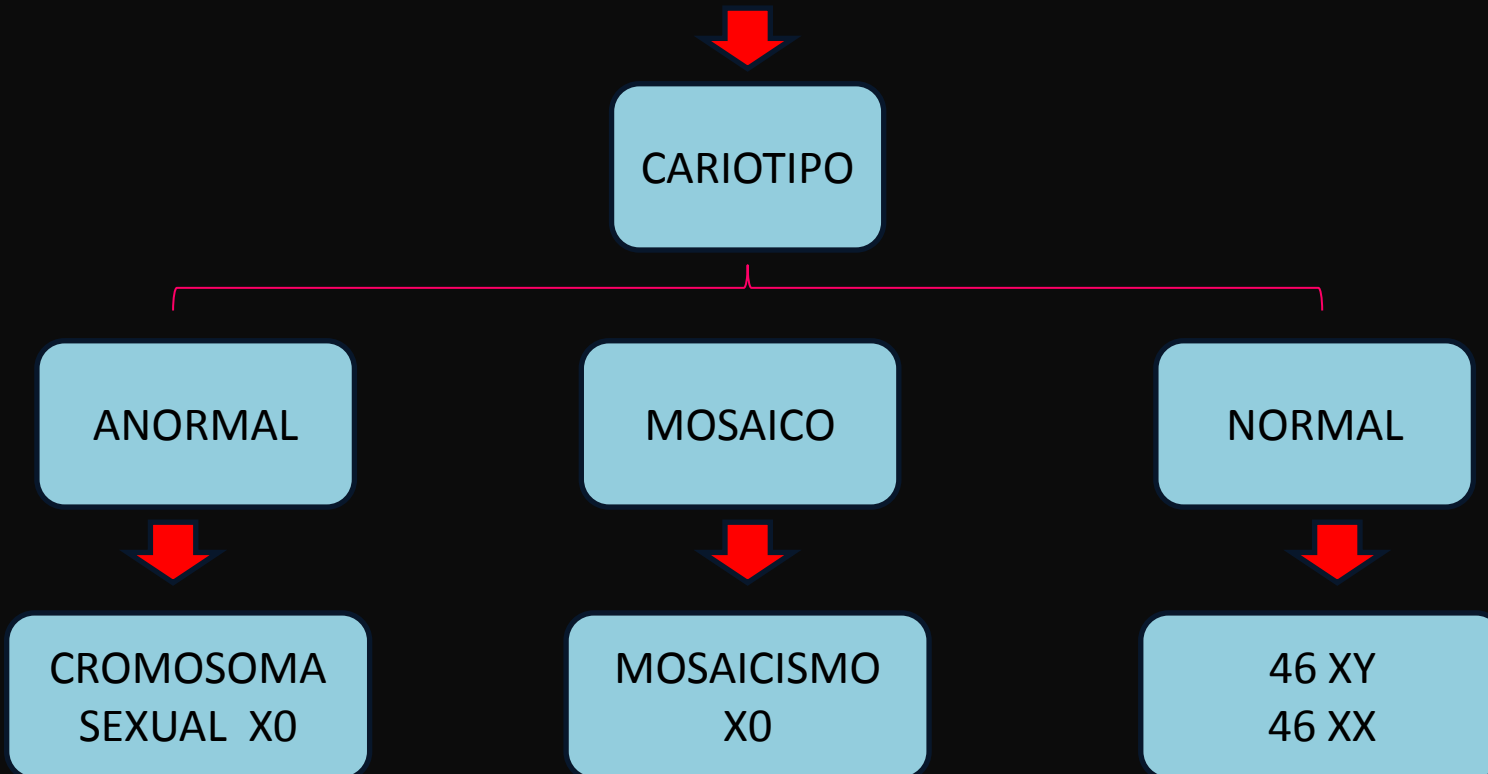


DISGENESIA
GONADAL

ERC

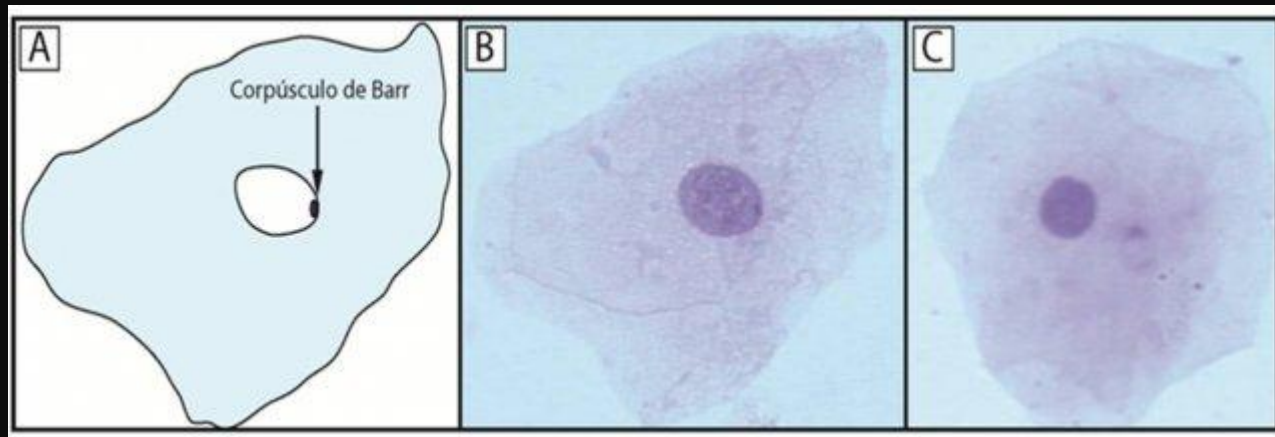
DISGENESIA GONADAL

SOSPECHA de Desordenes del Desarrollo
Sexual



COPUSCULO DE BARR

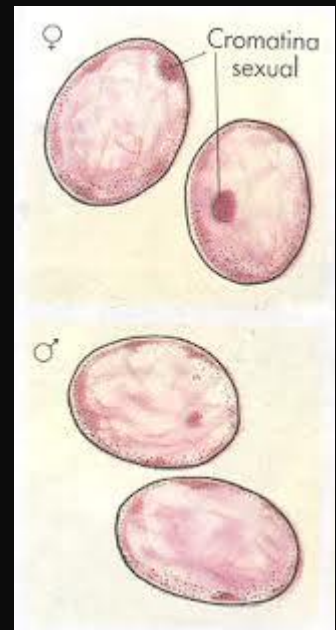
Condensación de la cromatina sexual de uno de los cromosomas X, que se inactiva en presencia del cromosoma Y



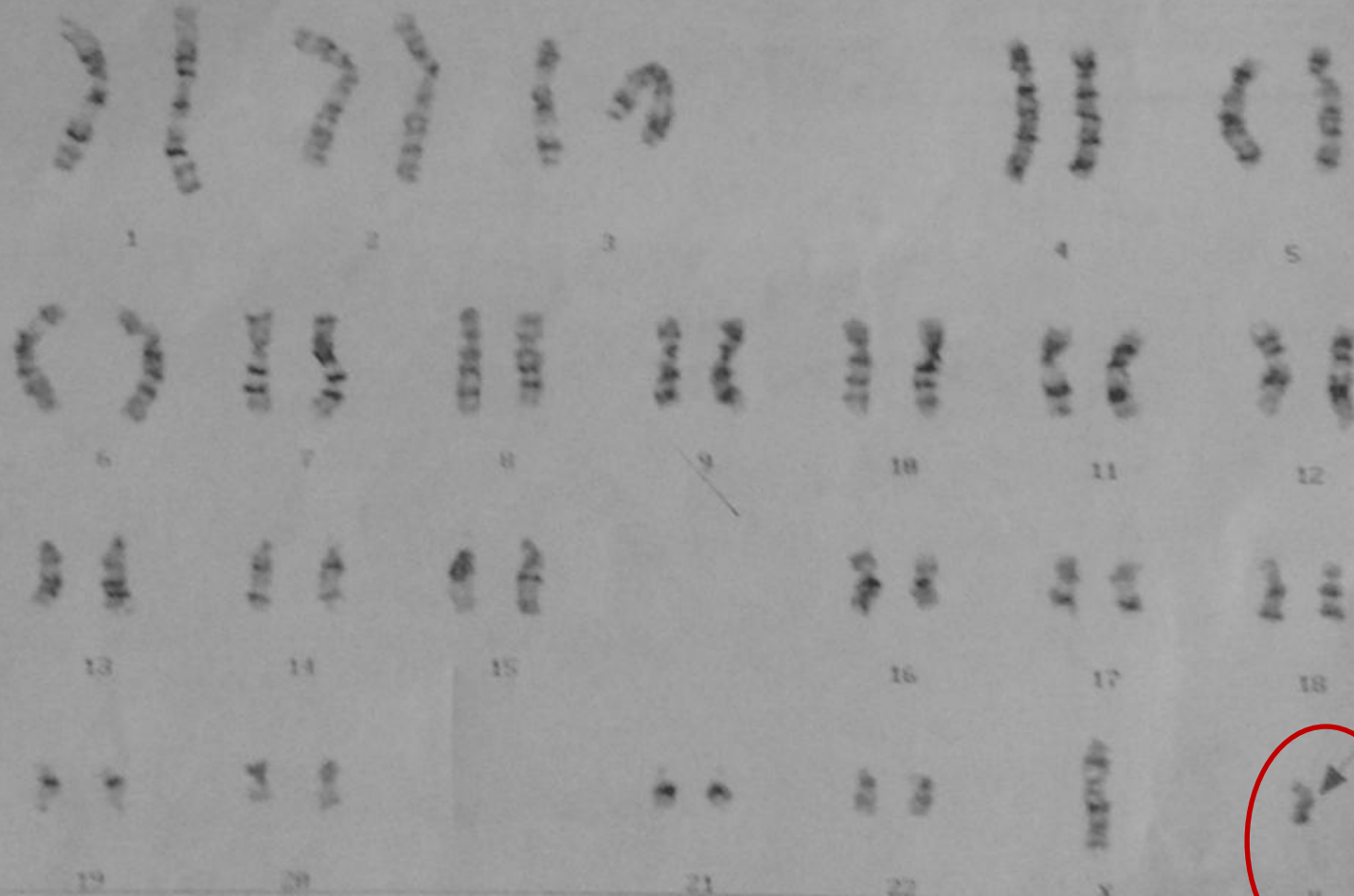
Lo contiene solo el 20% de células bucales

CROMATINA SEXUAL CORPUSCULO DE BARR

- Mucosa bucal
- Células escamosas superficiales sin atipia significativas
- No se observa corpúsculo de BAAR.



CARIOTIPO



Técnica de Bandas GTG

Cariotipo

46,XY

Comentario

CARIOTIPO MASCULINO

CARIOTIPO: 46XY

CARIOTIPO MASCULINO

DESORDENES DEL DESARROLLO SEXUAL

PREVIO	PROPUESTO
Intersexo	Desorden del desarrollo sexual
Pseudohermafroditismo Masculino. Feminización de XY masculino. Testículos	DSD 46 XY
Pseudohermafroditismo Femenino. Sobrevirilización de XX femenino. Ovarios	DSD 46 XX
Verdadero Hermafroditismo	DSD Ovotesticular
XX sexo reverso. Testículos	46XX testicular
XY sexo reverso. Ovarios	46XY disgenesia gonadal completa

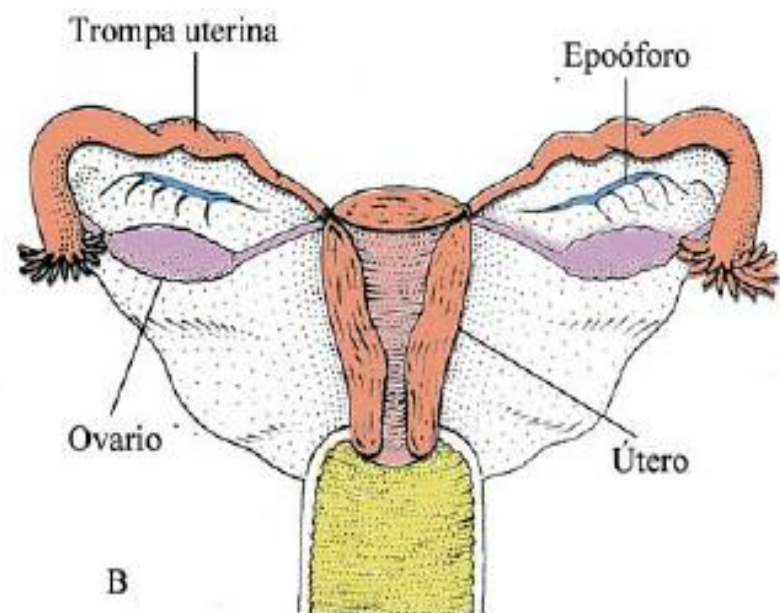
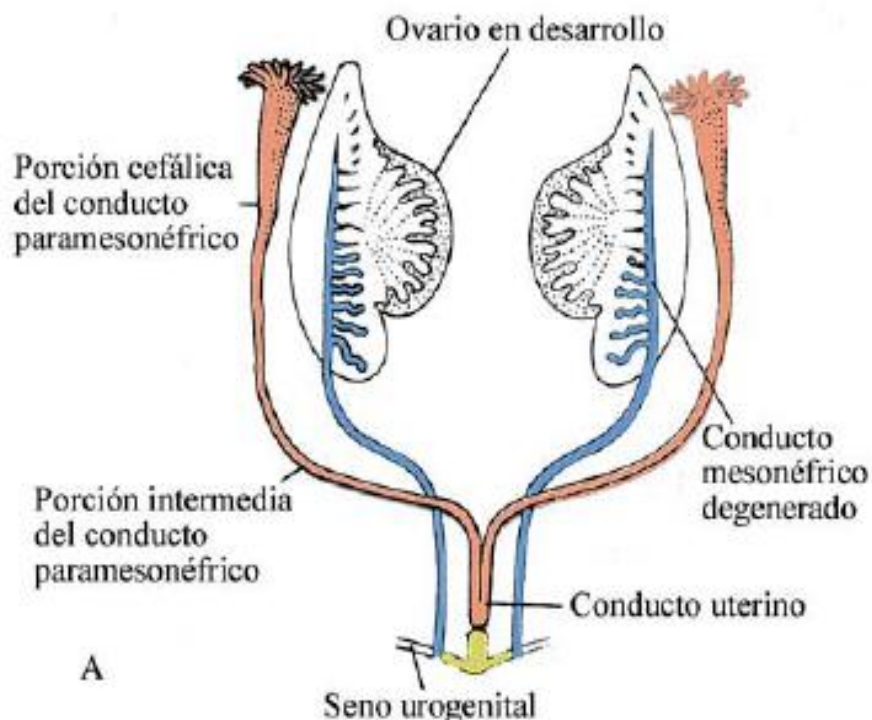
DISGENESIA GONADAL 46XY

Historia Familiar, Examen Fisico,
Cariotipo, US, FSH, LH, Estradiol.

Ausente

Derivados Mullerianos

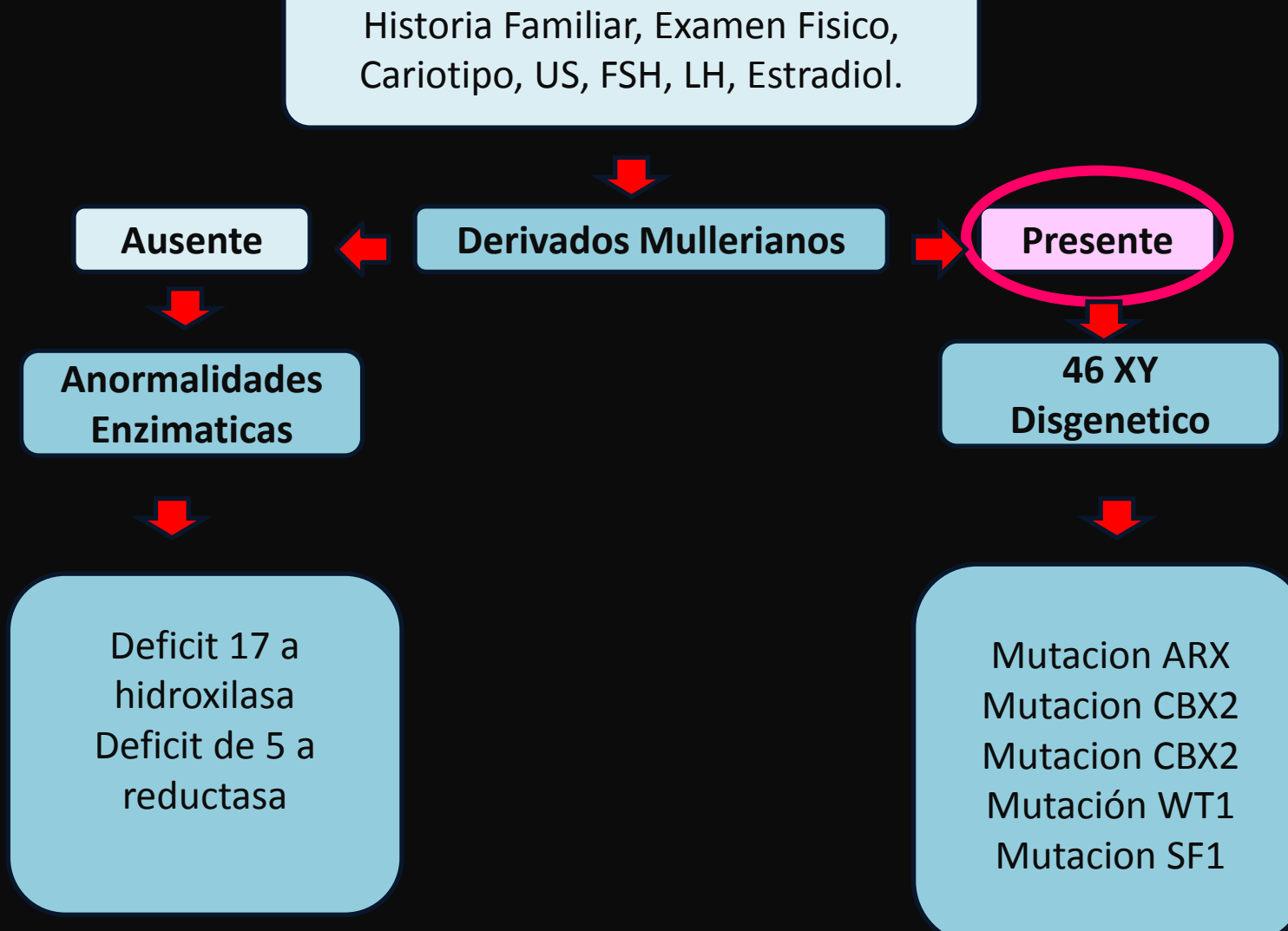
Presente



ECOGRAFIA TRANSVAGINAL

- Masa en anexo derecho de 54x 41 pared de 3 mm
- Ovario Izquierdo de 30 x 20 x 21 mm
- Utero 57x31 x28 mm

DISGENESIA GONADAL 46XY



AL MOMENTO

Amenorrea Primaria

Tanner 1



HIPOGONADISMO

HIPERGONADOTROFICO



DISGENESIA
GONADAL



46XY CON
RESTOS
MULLERIANOS

Masa Pélvica

ERC

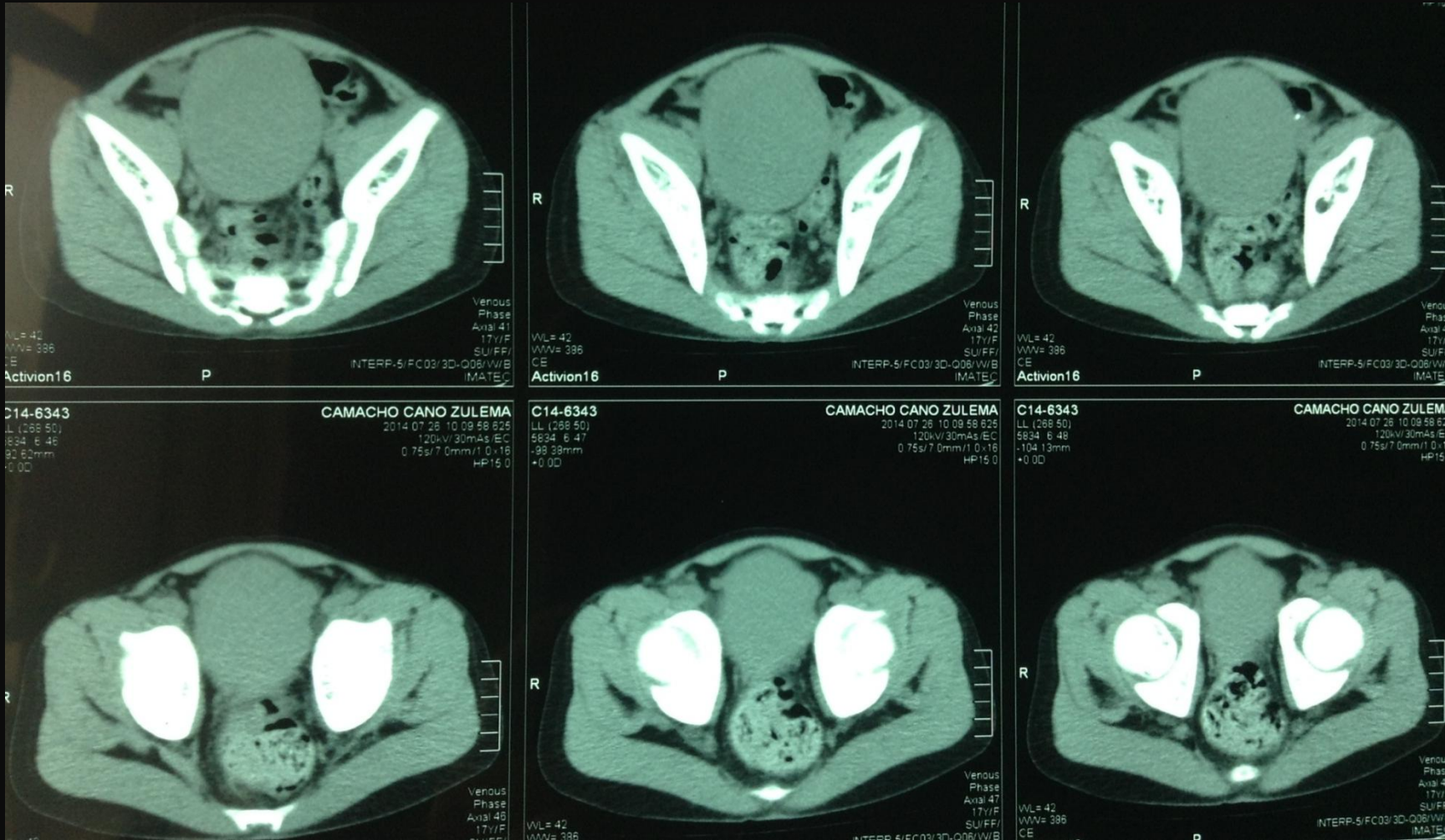
MASA PELVICA

ECOGRAFIA TRANSVAGINAL

- Útero 57x31 x28 mm

→ Tumoración sólida en cavidad pélvica abdominal 64x54 mm x76mm. Doppler con IR 0.55, borderline D/c NM Ovario

TEM DE ABDOMEN Y PELVIS



- Utero impresiona miomatoso
- Imagen solida en mesogastrio de 155 x 84 x 76 mm

Marcadores Tumorales

MARCADORES		Valores Normales
CA 125	6.48	1.9-16.3
CEA	1.06	0.21-2.5
bHCG	265	Postivo >15
Alfa fetoproteína	1.01	0.5-5
DHL	1406	100-300

Marcadores Tumorales

Tumor	HGC	AFP	DHL
Disgerminoma	+/-	-	+
Tumor seno endodérmico	-	+	+/-
Teratoma inmaduro	-	+/-	+/-
Carcinoma embrionario	+/-	+	+/-
Coriocarcinoma	+	-	-
Poliembrioma	+/-	+/-	-
Mixtos	+	+	+

Masa sólida pélvica con IR
borderline

bHCG positiva

LDH alto



D/C DISGERMINOMA
D/C CARCINOMA EMBRIONARIO

LAPAROTOMIA EXPLORATORIA

EXAMEN ANATOMO PATOLOGICO

- EXAMEN MACROSCOPICO

Utero mide 3,5 x 2 x 0.7 cm,
Orificio cervical puntiforme
Endometrio de 0.1 cm

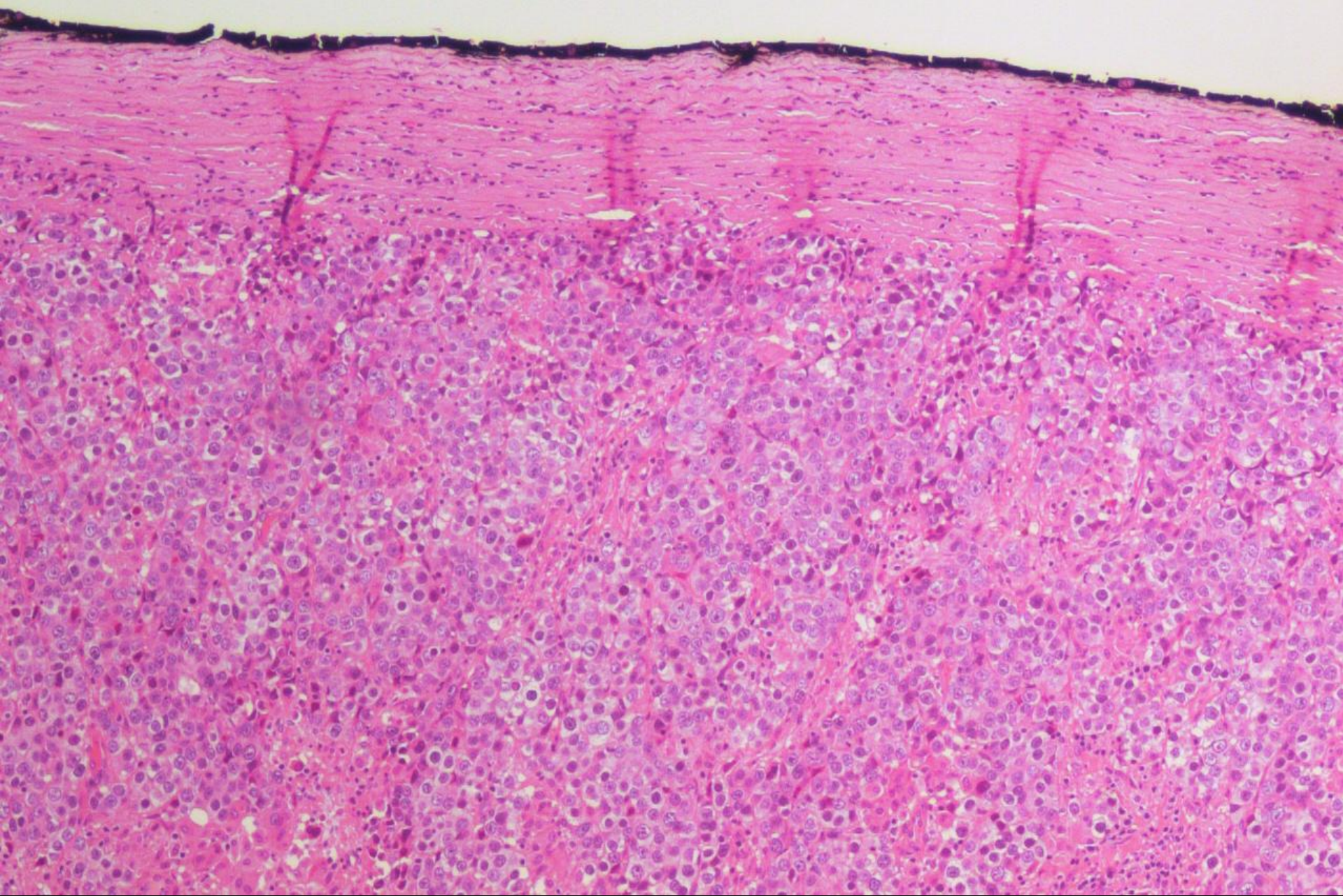
Trompa izquierda
2.5 x0.7x0.6 cm

Trompa derecha
5x0.5x0.4cm

Ovario Izquierdo
1.4x0.9x0.4cm

Anexado a trompa
derecha tumoración
solida gris se extiende
a pared posterior de
útero.

ANATOMÍA PATOLÓGICA

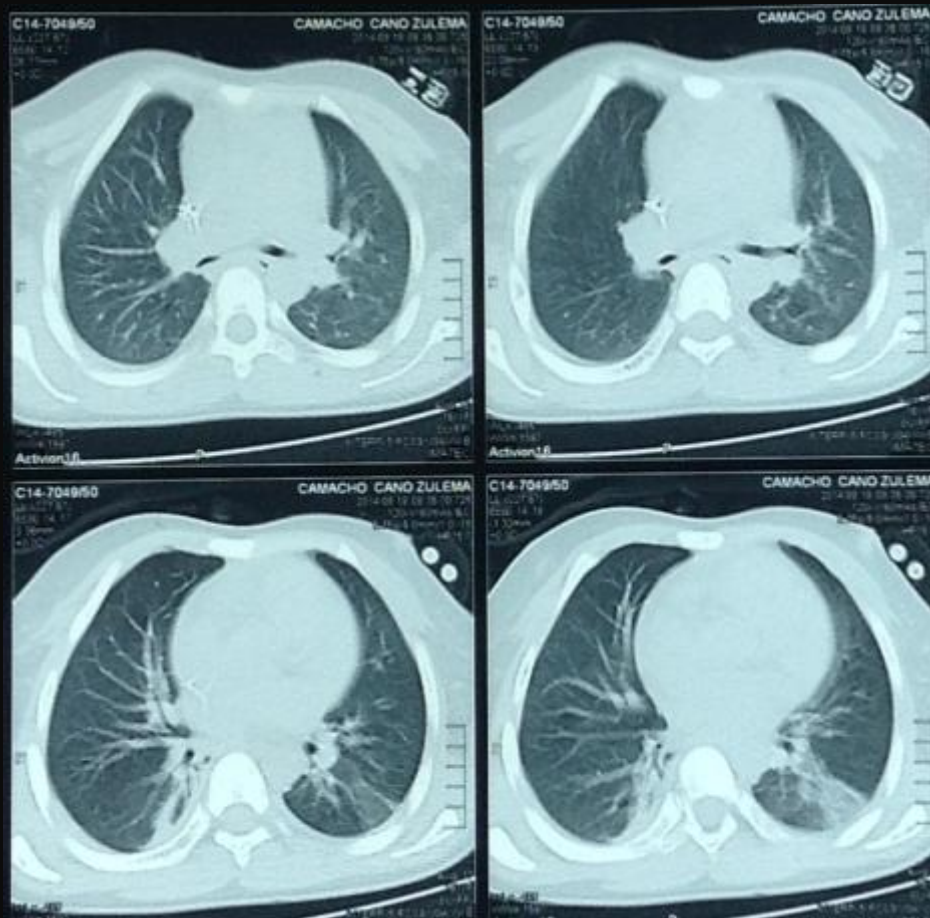


Células de núcleo redondo uniforme, citoplasma claro,
tractos fibrosos con linfocitos. DISGERMINOMA.

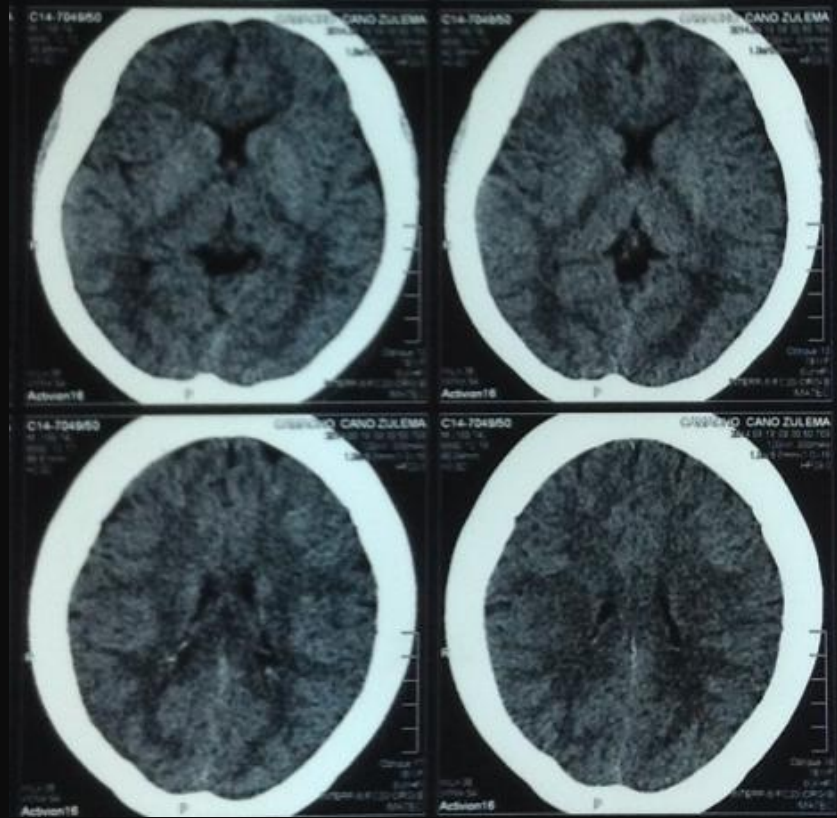
EXAMEN MICROSCOPICO

- Ganglios linfáticos libres de neoplasia
- Cervix sin alteraciones, endometrio inactivo, ovario con múltiples focos de calcificación, folículos atróficos.
- Disgerminoma con células de sincitiotrofoblasto y áreas de necrosis y atipia celular.

TAC DE TORAX



TAC CEREBRAL



Disgerminoma Estadio Clinico IIIa

Paciente presenta compromiso de pared abdominal, con presencia de nódulos

Staging: International Federation of Gynecology and Obstetrics (FIGO) staging

- Stage I - Limited to ovaries
 - Ia - Limited to 1 ovary
 - Ib - Limited to both ovaries
 - Ic - Ascites with malignant cells on peritoneal washings or extension beyond the capsule in either Ia or Ib
- Stage II - Pelvic extension
 - IIa - Involvement of uterus or fallopian tubes
 - IIb - Extension to the bladder or rectum
 - IIc - Stage IIa or IIb but with positive peritoneal washings
- Stage III - Peritoneal implants outside of pelvis
 - IIIa - Microscopic seeding of abdominal surfaces
 - IIIb - Abdominal peritoneal implants smaller than 2 cm
 - IIIc - Abdominal implants larger than 2 cm or positive lymph nodes
- Stage IV - Distant metastases
 - Pleural effusions - Must confirm with positive cytology to be deemed stage IV
 - Any involvement of the liver parenchyma

Disgerminoma Estadio Clinico IIIa

Management of Germ Cell Tumors of the ovary

Stage	Surgery (fertility-sparing surgery when indicated)	Chemotherapy	Surveillance policy
Dysgerminoma			
Stage IA	X	-	X
Stage IB-IC	X	X	(X)
Stage IIA-IV	X	X	
Immature teratoma			
Stage IA G1	X	-	X
Stage IA G2-G3	X	X	(X)*
Stage IB-IC	X	X	(X)
Stage IIA-IV	X	X	
Yolk sac tumor			
Stage IA-IB	X	X	X
other stages	X	X	

X=suggested

* Properly surgical staged

(X) = suggested by some authors

- = no therapy

AL MOMENTO

Amenorrea Primaria



HIPOGONADISMO
HIPERGONADOTROFICO

Masa Pélvica



DISGENESIA
GONADAL

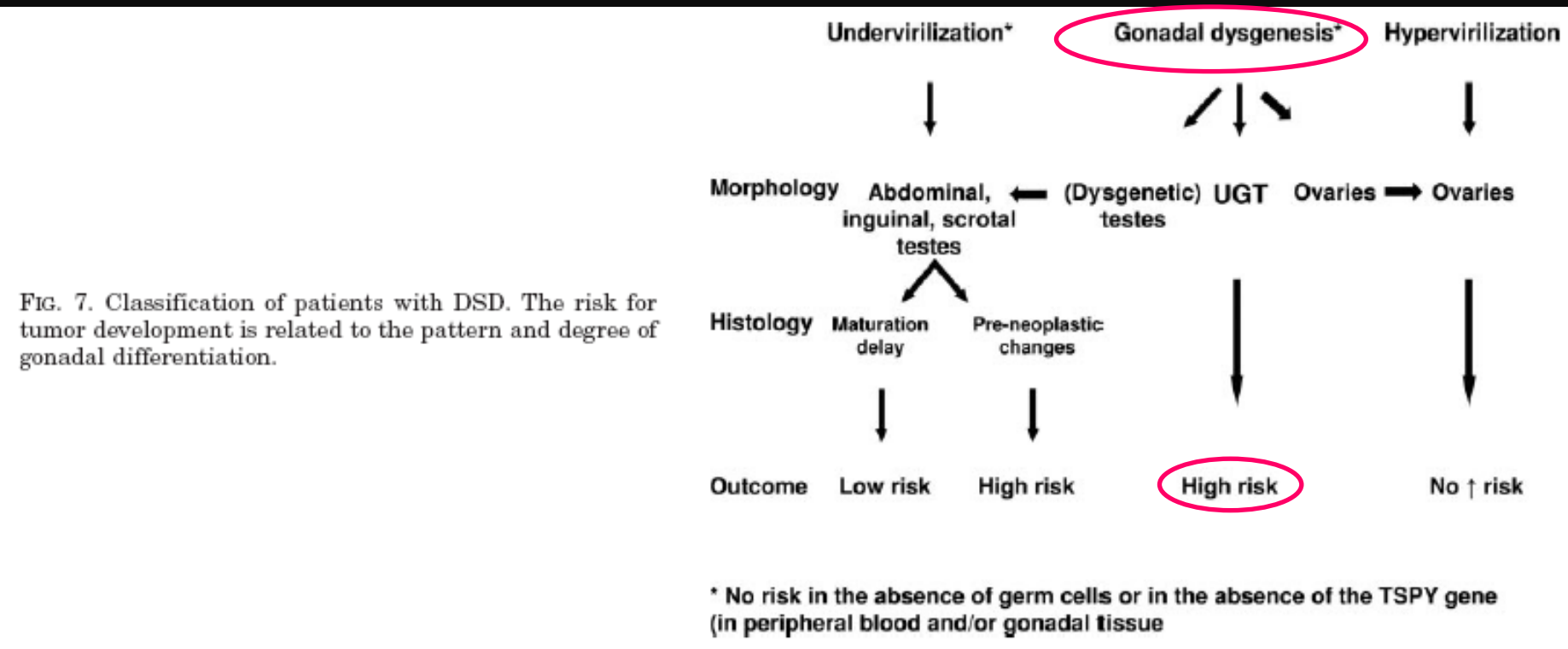


46XY CON
RESTOS
MULLERIANOS

DISGERMINOMA
IIIa

ERC

RIESGO DE MALIGNIDAD EN DISGENESIA GONADAL



Germ Cell Tumors in the Intersex Gonad: Old Paths, New Directions, Moving Frontiers. Endocrine Reviews 27(5):468–484

DISGENESIA GONADAL 46XY



Disgenesia Gonadal Cariotipo 46 XY



NEOPLASIA DE CELULA
GERMINAL (DISGERMINOMA)



D/C SD DE DENYS DRASH
D/C SD DE SWYER
D/C SD DE FRASIER

CARACTERISTICAS

	SINDROME DE DENYS-DRASH	SINDROME DE SWYER	SINDROME DE FRASIER
CARIOTIPO	46 XY	46 XY	46 XY
GEN	WT1	SF1	WT1
GENITALES EXTERNOS FEMENINOS	SI	SI	SI
DERIVADOS MULLERIANOS	SI	SI	SI
NEOPLASIA DE CEL GERMINAL	Gonadoblastoma Disgerminoma	Gonadoblastoma Disgerminoma	Gonadoblastoma Disgerminoma
RIESGO DE TUMOR DE WILMS	SI	NO	NO

AL MOMENTO

Amenorrea Primaria



HIPOGONADISMO
HIPERGONADOTROFICO



DISGENESIA
GONADAL

DSD 46XY CON
RESTOS
MULLERIANOS

Masa Pélvica



DISGERMINOMA IIIa

ERC

CARACTERISTICAS

	SINDROME DE DENYS-DRASH	SINDROME DE SWYER	SINDROME DE FRASIER
CARIOTIPO	46 XY	46 XY	46 XY
GEN	WT1	SF1	WT1
GENITALES EXTERNOS FEMENINOS	SI	SI	SI
DERIVADOS MULLERIANOS	SI	SI	SI
NEOPLASIA DE CEL GERMINAL	Gonadoblastoma Disgerminoma	Gonadoblastoma Disgerminoma	Gonadoblastoma Disgerminoma
RIESGO DE TUMOR DE WILMS	SI	NO	NO
ENFERMEDAD RENAL CRONICA	SI	NO	SI

WT1 gene mutation responsible for male sex reversal and renal failure: the Frasier syndrome
 European Journal of Obstetrics & Gynecology and Reproductive Biology 110 (2003) 111–113

Disgenesia Gonadal Cariotipo 46 XY



DISGERMINOMA



ERC



**D/C SD DE DENYS DRASH
D/C SD DE FRASIER**

CLINICA DE SINDROME DE DENYS DRASH Y FRASIER

Sindrome de Denys Drash	Sindrome de Frasier
Desorden del desarrollo sexual	Desorden del desarrollo sexual
Nefropatía: Esclerosis Difusa Mesangial	Nefropatía:Glomeruloesclerosis focal segmenaria
Presentación temprana: 0-3años	Presentación Tardía: 10-20 años
Gonadoblastoma	Gonadoblastoma
Alto riesgo de tumor de Wilms	No riesgo de tumor de Wilms

Frasier and Denys-Drash syndromes: different disorders or part of a spectrum? *Arch Dis Child* 1999;81:365–369

WT1 gene mutation responsible for male sex reversal and renal failure: the Frasier syndrome
European Journal of Obstetrics & Gynecology and Reproductive Biology 110 (2003) 111–113

**DISGENESIA GONADAL
46XY**



DISGERMINOMA



**ENFERMEDAD RENAL
CRONICA**



**SINDROME DE
FRASIER**

**MUTACION DE
WT-1 GEN
SUPRESOR
DEL TUMOR DE
WILMS**



SINDROME DE FRASIER

INTRODUCCION

- 1 de cada 1 000 000, Autosómico Dominante.
- El cariotipo 46 XY, fenotipo femenino, 46 XX raro.
- Genital externo femenino y Desarrollo de conductos de Müller, pero con estrías gonadales.
- Las mutaciones en el sitio de empalme en el intrón 9 del Gen supresor del Tumor de Wilms (WT1).
- Gen imprescindible para el desarrollo normal y función del tracto urogenital.

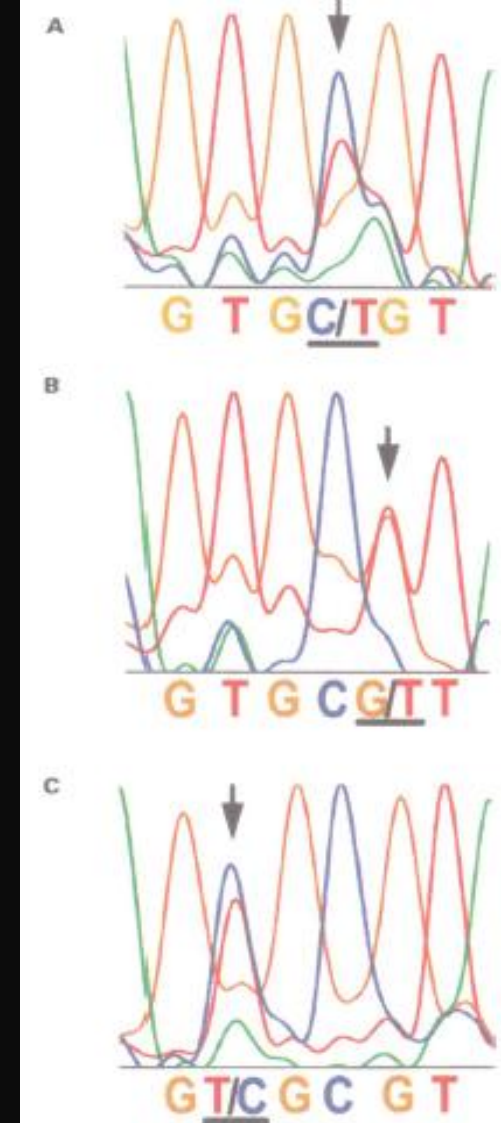
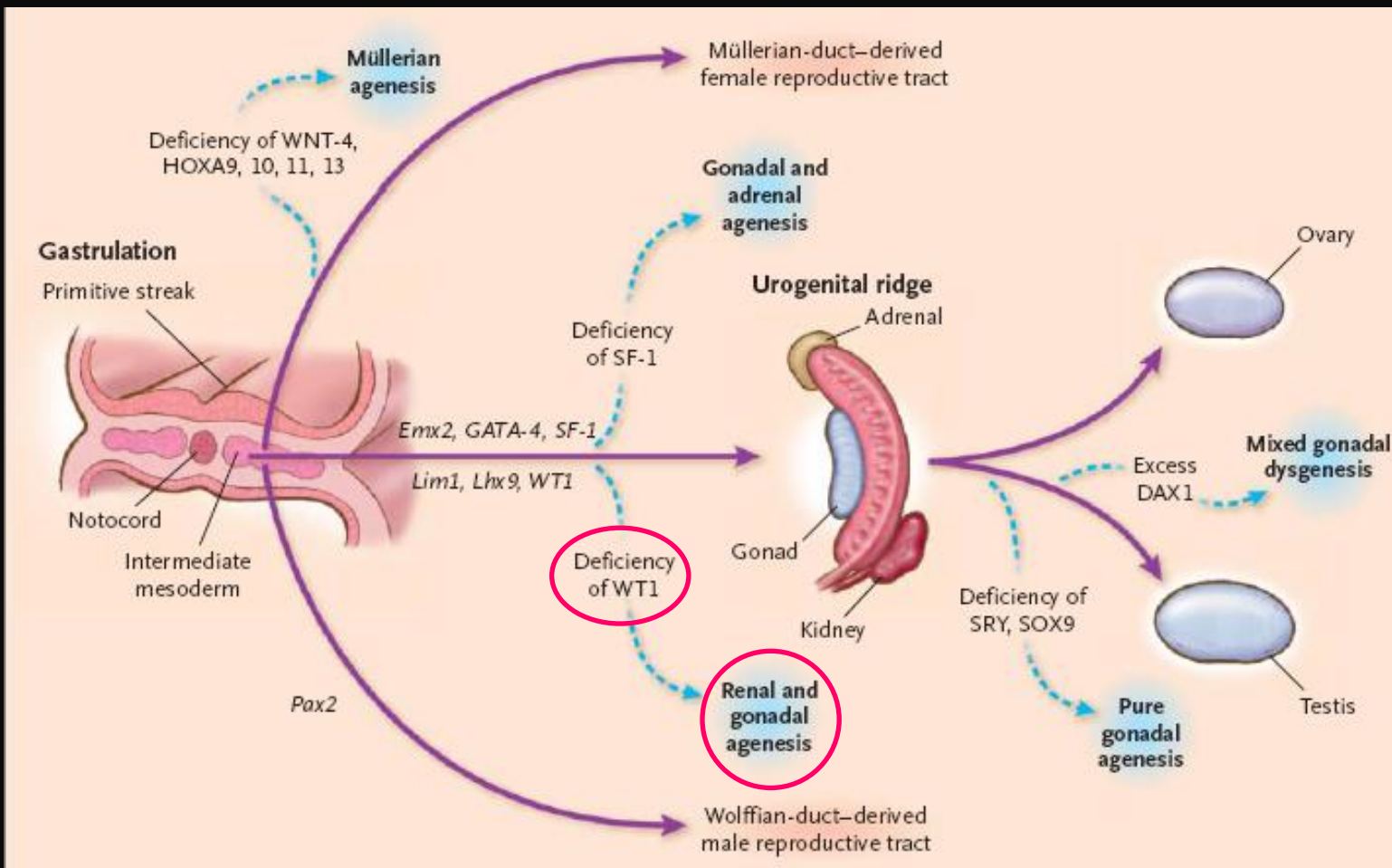
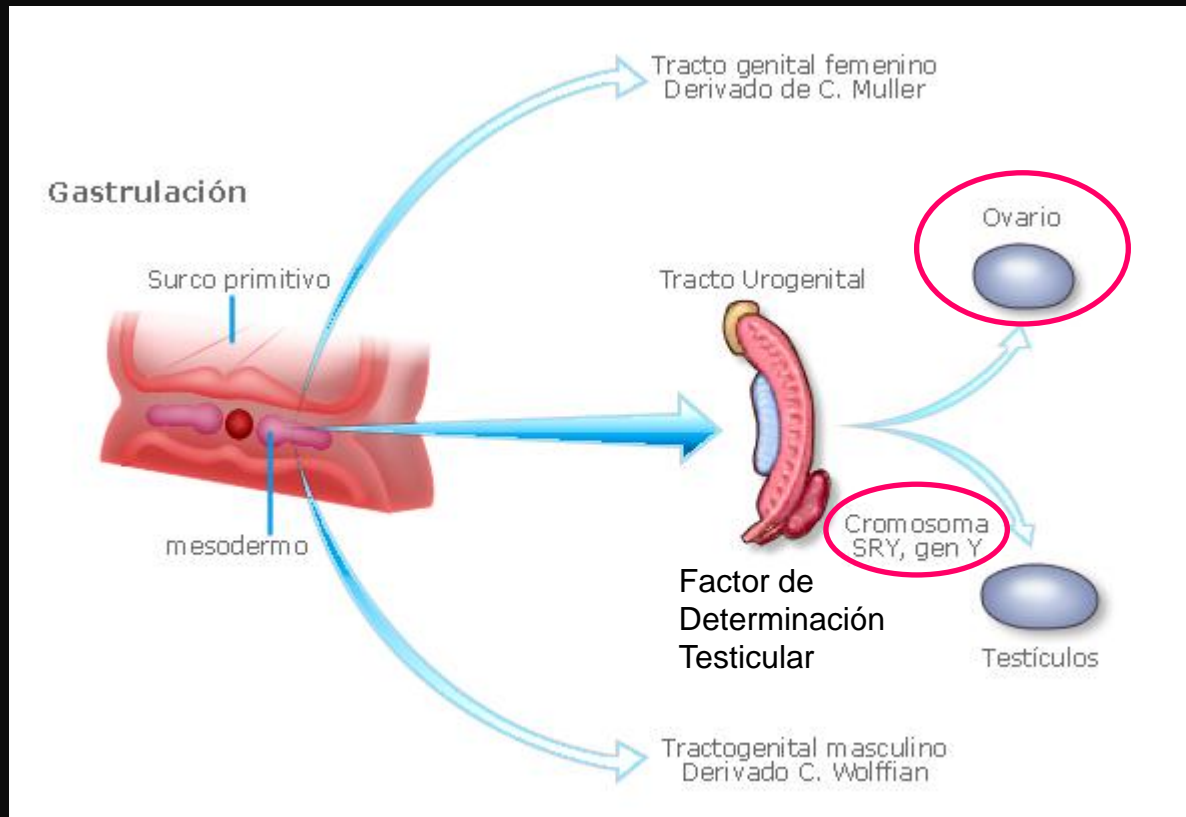


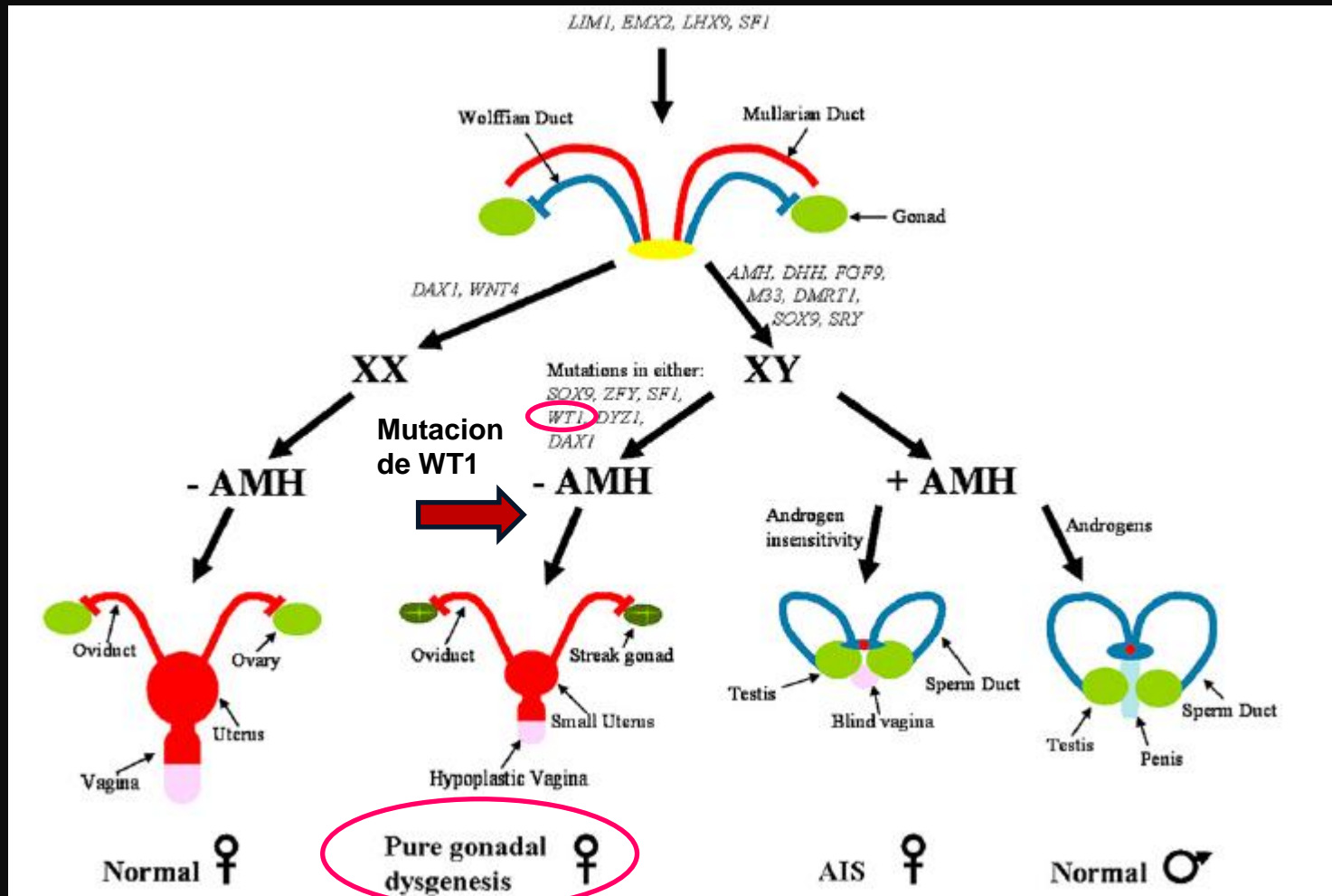
Figure 1 Direct DNA sequence analysis of the intron 9 splicing donor site of the *WT1* gene from patients with intronic mutations (patients I.1, I.2, I.3, I.4, and I.5). Sequences from (A) patients I.1-3, (B) patient I.4, and (C) patient I.5. Arrows point to the mutations. Heterozygous mutations were found at +4 (C to T), +5 (G to T), and +2 (T to C) positions of intron 9 in A, B, and C, respectively.





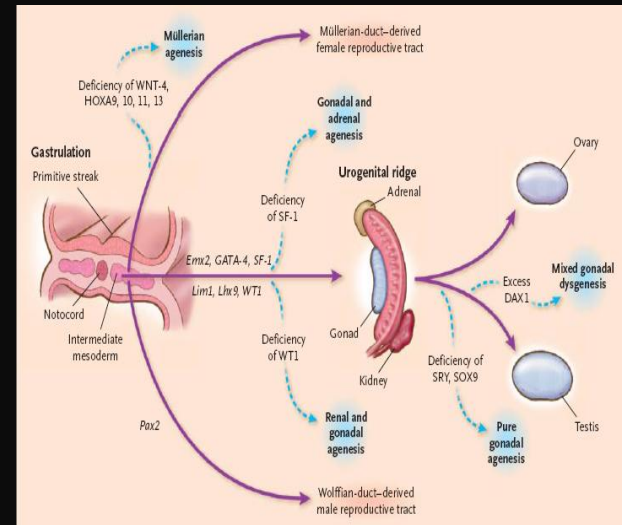
Mutación WT1 → ausencia de región Lisina, Treonina, Serina; causa disminución de producción de SRY (Factor de Determinación Testicular)

DESARROLLO EMBRIOLOGICO



SINDROME DE FRASIER

- Primera evaluación por amenorrea primaria durante la adolescencia
- Síndrome Nefrótico resistente a esteroides
- Pacientes con glomerulopatía progresiva, con Glomeruloesclerosis Focal y Segmentaria
- Nefropatías son resistentes al tratamiento médico, y el trasplante renal es la alternativa terapéutica.



Clinical Utility of Genetic Testing in Children and Adults with Steroid-Resistant Nephrotic Syndrome

Sheila Santín, Gemma Bullich,* Bárbara Tazón-Vega,* Rafael García-Maset,† Isabel Giménez,† Irene Silva,* Patricia Ruiz,* José Ballarín,† Roser Torra,† and Elisabet Ars**

Table 1. Datos clínicos de acuerdo con el estado de mutación de 125 pacientes procedentes de 110 familias con Síndrome Nefrótico

	Age at Onset of NS (Mean \pm SD [years], Median, Range [years])	Response to CR (No. of Patients with NR/ NG/NA)	Response to IS with/without ACEI (No. of Patients with NR/PR/NG/ NA)	Histology (No. of Patients with CNF/ DMS/MCNS/FSGS/ NP)	ESRD (No. of patients [%])	Age at ESRD (Mean \pm SD [years], Median, Range [years])	Progression Time to ESRD (Mean \pm SD [years], Median, Range [years])	Kidney Transplant (No. of patients [%])
Patients with <i>WT1</i> mutations	19.0 (10.0–39.0) 1.3 \pm 1.2; <i>n</i> = 5	3/2/0	3/2/0/0	0/2/0/3/0	2 (40)	26.0 (15.0 to 50.0) 0.3 \pm 0.2, <i>n</i> = 2	9.0 (4.0 to 13.0) 0.2 \pm 0.2, <i>n</i> = 2	1 (50)
Patients with <i>TRPC6</i> mutations	1.0 (0.2 to 2.8) 24.4 \pm 16.9; <i>n</i> = 4	3/1/0	0/1/1/2	0/0/0/3/1	1 (25)	3.0 (1.0 to 5.0) 39.0, <i>n</i> = 1	2.4 (0.7 to 4.0) 14.0, <i>n</i> = 1	1 (100)
Patients with <i>INF2</i> mutations	25.0 (7.2 to 41.0) 32.0 \pm 16.6; <i>n</i> = 5	0/5/0	0/0/5/0	0/0/0/5/1	4 (80)	36.5 \pm 17.3, <i>n</i> = 4	4.5 \pm 4.0, <i>n</i> = 4	4 (100)
	31.0 (16.0 to 50.0)					33.5 (21.0 to 58.0)	4.5 (1.0 to 8.0)	

CR, corticoids; IS, immunosuppressants; MCNS, minimal change nephrotic syndrome; NA, not available; NG, not given; NP, not performed; NR, no response; PR, partial response.

SINDROME DE FRASIER

- Gónadas disgenéticas están asociados con un aumento del riesgo de transformación neoplásica.
- Riesgo de gonadoblastoma en una gónada disgenética que contiene material cromosómico Y.
- Asociación con disgerminoma con menor frecuencia. Se recomienda Gonadectomía profiláctica.

RIESGO DE MALIGNIDAD

TABLE 4 Risk of Germ Cell Malignancy According to Diagnosis

Risk Group	Disorder	Malignancy Risk, %	Recommended Action	Patients, n	Studies, n
High	GD ^a (+Y) ^b intraabdominal	15–35	Gonadectomy ^c	12	>350
	PAIS nonscrotal	50	Gonadectomy ^c	2	24
	Frasier	60	Gonadectomy ^c	1	15
	Denys-Drash (+Y)	40	Gonadectomy ^c	1	5
Intermediate	Turner (+Y)	12	Gonadectomy ^c	11	43
	17 β -hydroxysteroid	28	Watchful waiting	2	7
	GD (+Y) ^b scrotal	Unknown	Biopsy ^d and irradiation?	0	0
Low	PAIS scrotal gonad	Unknown	Biopsy ^d and irradiation?	0	0
	CAIS	2	Biopsy ^d and ???	2	55
	Ovotesticular DSD	3	Testicular tissue removal?	3	426
No (?)	Turner (−Y)	1	None	11	557
	5 α RD2	0	Unresolved	1	3
	Leydig cell hypoplasia	0	Unresolved	1	2

^a Gonadal dysgenesis (including not further specified, 46,XY, 46,X/46,XY, mixed, partial, and complete).

^b GBY region positive, including the TSPY (testis-specific protein Y encoded) gene.

^c At time of diagnosis.

^d At puberty, allowing investigation of at least 30 seminiferous tubules, preferentially diagnosis on the basis of OCT3/4 immunohistochemistry.

State of the art review in gonadal dysgenesis: challenges in diagnosis and management

Bonnie McCann-Crosby^{1*}, Roshanak Mansouri², Jennifer E Dietrich², Laurence B McCullough³, V Reid Sutton⁴, Elise G Austin⁴, Bruce Schlormer⁵, David R Roth⁵, Lefkothea Karaviti¹, Sheila Gunn¹, M John Hicks⁶ and Charles G Macias⁷

Table 1 GRADE evaluation of literature for timing of gonadectomy

Study	Type of study	Diagnoses	Location of gonads that show malignancy: if specified	Conclusions from each study regarding timing of gonadectomy	Design limitations
Wunsch, et al. 2012 [33]	Observational Cohort study	8 patients with CGD underwent gonadectomy: –Ages ranged from 1–25 years –3 patients (37.5%) had evidence of <i>In situ</i> neoplasia (ages 3, 12, 18); –2 of these patients also had dysgerminoma. 12 patients with PGD had gonadal tissue evaluation: 1 patient (8.3%) had gonadoblastoma at age 6	All patients with CGD had intra-abdominal gonads All patients with PGD had intra-abdominal streak gonads.	Early gonadectomy for patients with CGD For patients with PGD and non-scrotal gonads, early gonadectomy may be warranted	Small sample size, lack of blinding, lack of allocation concealment
Johansen, et al. 2012 [34]	Observational Retrospective study	15 patients with PGD (45X/46,XY and variants) had gonadal samples for review: –3 patients (20%) had evidence of <i>In situ</i> Neoplasia: –2 males (ages 2 and 14) and 1 female (age 4) had CIS –2 males (ages 2 and 14) and 1 female (age 4) had CIS	14 year old male had left inguinal dysgenetic testis with CIS 2 year old male with right inguinal dysgenetic testis 4 year old female with left inguinal dysgenetic testis	No specific recommendations for timing, does indicate that CIS originates before puberty	Small sample size, lack of blinding, lack of allocation concealment, ascertainment bias
Martinerie, et al. 2012 [35]	Observational Retrospective Study	20 boys with PGD (45X/46,XY) were studied –2 patients (10%) had evidence of malignancy: <i>Dysgerminoma found in a 13 year old male.</i> <i>Seminoma found in a 23 year old male.</i>	13 year old with intra-abdominal streak gonad 23 year old with intrascrotal dysgenetic testis (inguinal at birth with orchidopexy at 9 years of age).	No specific recommendations for timing of gonadectomy. <i>Recommend strict surveillance of gonads and testicular function in patients with PGD raised as males</i>	Small sample size, lack of blinding, lack of allocation concealment
Rocha, et al. 2011 [20]	Observational Retrospective study	9 patients with XY CGD who had histology available: –Gonadoblastoma in 4 patients (44%) ages 14–17, Two of which also had dysgerminoma (22%)	Abdominal	Recommend gonadectomy at diagnosis	Limited sample size, lack of blinding, lack of allocation concealment
Cools, et al. 2011 [36]	Observational study	Obtained 84 gonadal samples from 39 patients with PGD who were 45X/46, XY: – <i>In Situ</i> Neoplasia found in 4 different patients (10.2%).	1 patient with mild undervirilization had right abdominal gonad with gonadoblastoma (age not specified) 1 patient with ambiguous phenotype had left abdominal gonad with gonadoblastoma (age 1)	In females with PGD, tumor risk is limited but gonads are not functional, making gonadectomy the most reasonable option. <i>Malignancy risk in males appears inversely related to degree of virilization (more virilized, less risk).</i>	Small sample size, lack of blinding, lack of allocation concealment, selection bias (no gonadal tissue from undiagnosed 45X/46,XY males).

REEMPLAZO HORMONAL

- Bajas dosis de reemplazo hormonal.
 - Etnilestradiol 0.02-0.1 mg/dl
 - Parches transdermico 0.05-0.1 mg – 1 a 2 v/sem
- Permite desarrollo sexual, aumenta densidad mineral ósea, previene de osteoporosis, aumenta HDL y reduce LDL.

SEGUIMIENTO

CIRUGIA
14 DE
AGOSTO



bHCG CUANTITATIVO	VALORES NORMALES
26/07/14	265
20/08/14	31
23/08/14	19.8

Disgerminoma Estadio Clinico IIIa

Management of Germ Cell Tumors of the ovary

Stage	Surgery (fertility-sparing surgery when indicated)	Chemotherapy	Surveillance policy
Dysgerminoma			
Stage IA	X	-	X
Stage IB-IC	X	X	(X)
Stage IIA-IV	X	X	
Immature teratoma			
Stage IA G1	X	-	X
Stage IA G2-G3	X	X	(X)*
Stage IB-IC	X	X	(X)
Stage IIA-IV	X	X	
Yolk sac tumor			
Stage IA-IB	X	X	X
other stages	X	X	

X=suggested

* Properly surgical staged

(X) = suggested by some authors

- = no therapy

PACIENTE RECIBIO QUIMIOTERAPIA 4 CICLOS POR 3 DIAS (ETOPOSIDO, CISPLATINO)

CONCLUSIONES

- Detección temprana de causa de Amenorrea.
- Se recomienda Gonadectomía profiláctica en Disgenesia Gonadal.
- Se recomienda estudio Genético en pacientes con síndrome nefrótico resistente a esteroides.
- Tratamiento temprano de reemplazo hormonal, para el desarrollo sexual, disminuir riesgo de osteoporosis, y minimizar alteraciones en el perfil lipídico.

GRACIAS